

第3回 宇宙素粒子若手の会
秋の研究会 2018年10月4日～6日

J-PARC E36実験 静止 K^+ を用いた $e - \mu$ レプトン普遍性破れ探索

伊藤博士
神戸大

Topics

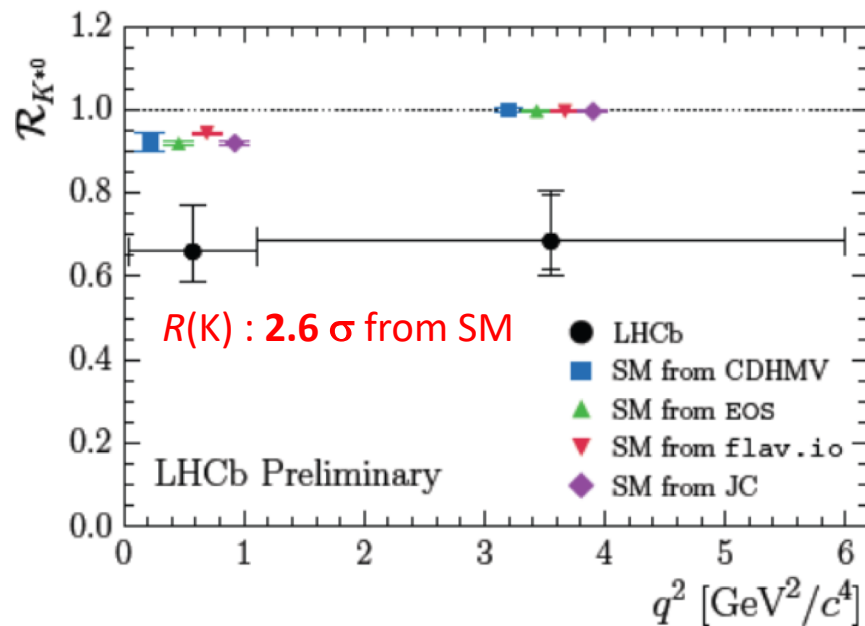
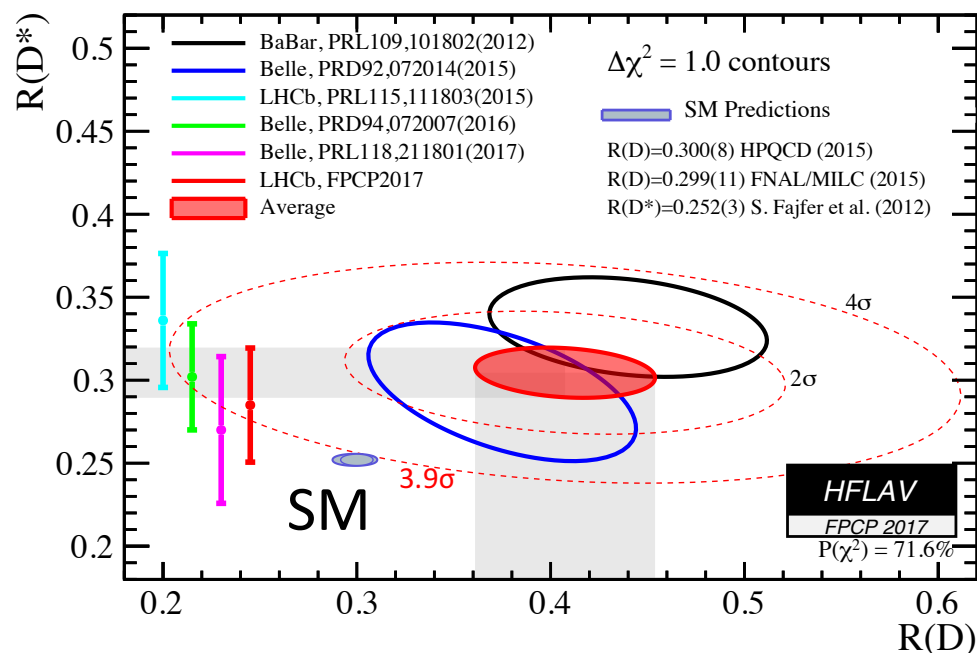
1. Introduction
2. J-PARC E36実験
3. Study of $\text{Ke}2\gamma$
4. Summary

1. Introduction

$$\mathcal{R}(D) = \frac{\mathcal{B}(\bar{B} \rightarrow D\tau^-\bar{\nu}_\tau)}{\mathcal{B}(\bar{B} \rightarrow D\ell^-\bar{\nu}_\ell)}, \quad \mathcal{R}(D^*) = \frac{\mathcal{B}(\bar{B} \rightarrow D^*\tau^-\bar{\nu}_\tau)}{\mathcal{B}(\bar{B} \rightarrow D^*\ell^-\bar{\nu}_\ell)}$$

where ℓ refers to either an e or μ .

$$R_{K^{(*)}} = \frac{BR(B \rightarrow K^{(*)}\mu\mu)}{BR(B \rightarrow K^{(*)}ee)}$$



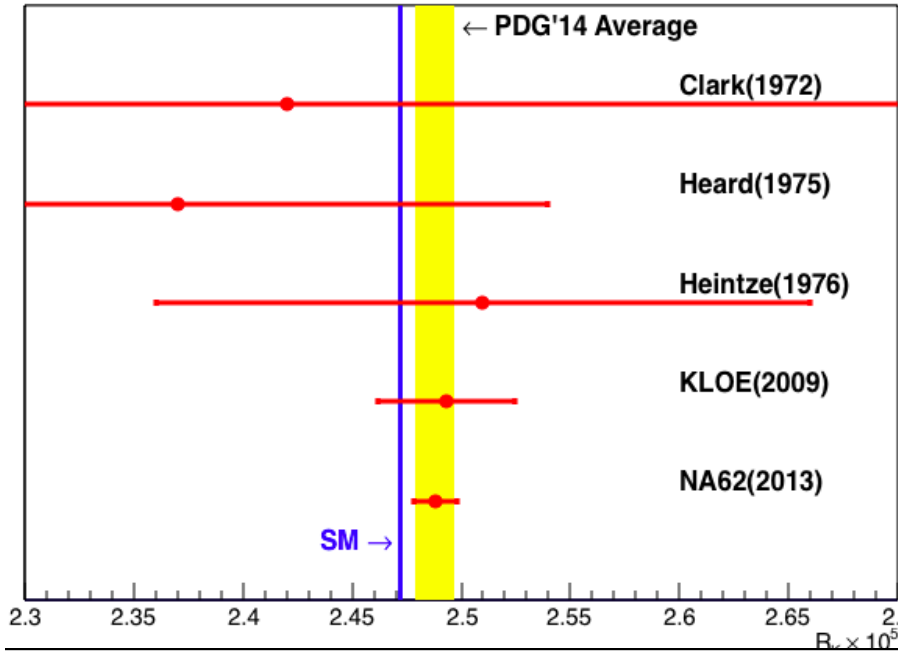
レプトンの性質が世代で普遍ではない？
 他にも e - μ - τ だけが異なる分岐比を調べてみよう！

2. J-PARC E36 実験

Ke2

Kμ2

静止 K^+ を用いた $\Gamma(K^+ \rightarrow e^+ \nu_e) / \Gamma(K^+ \rightarrow \mu^+ \nu_\mu)$ の精密測定実験

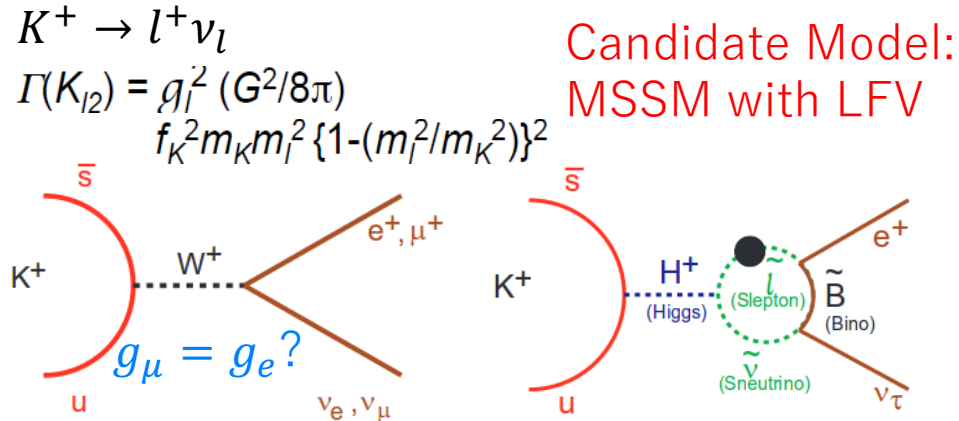


	$R_K \times 10^5$	$\Delta R_K / R_K$
KLOE(2009)	$2.493 \pm 0.025 \pm 0.019$ (stat) (sys)	1.26%
NA62(2013)	$2.488 \pm 0.007 \pm 0.007$ (stat) (sys)	0.40%
SM	2.477 ± 0.001	0.04%
Initial goal of E36		0.25%

$$R_K^{SM} = \frac{\Gamma(K^+ \rightarrow e^+ \nu_e)}{\Gamma(K^+ \rightarrow \mu^+ \nu_\mu)}$$

$$= \frac{m_e^2}{m_\mu^2} \left(\frac{m_K^2 - m_e^2}{m_K^2 - m_\mu^2} \right)^2 (1 + \delta_r)$$

radiative correction
helicity suppression



$$R_K^{LFV} = R_K^{SM} \left(1 + \frac{m_K^4}{M_{H^+}^4} \cdot \frac{m_\tau^2}{m_e^2} \Delta_{13}^2 \tan^6 \beta \right)$$

$$\sim R_K^{SM} (1 + 0.013_{\max}) \text{ Phys. Rev. D } \mathbf{74}$$

2. J-PARC E36 実験

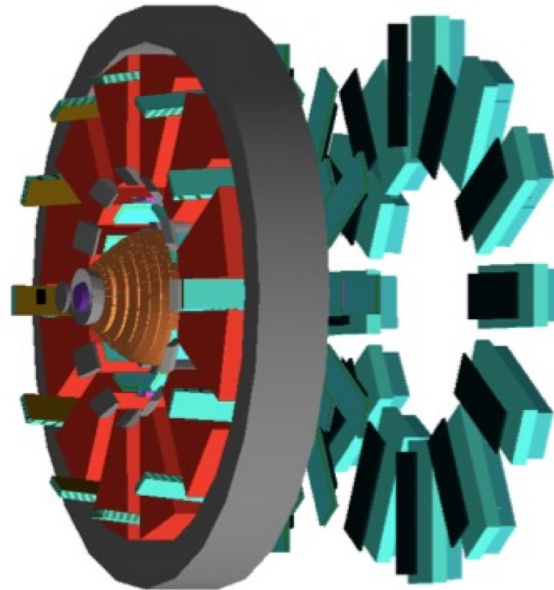
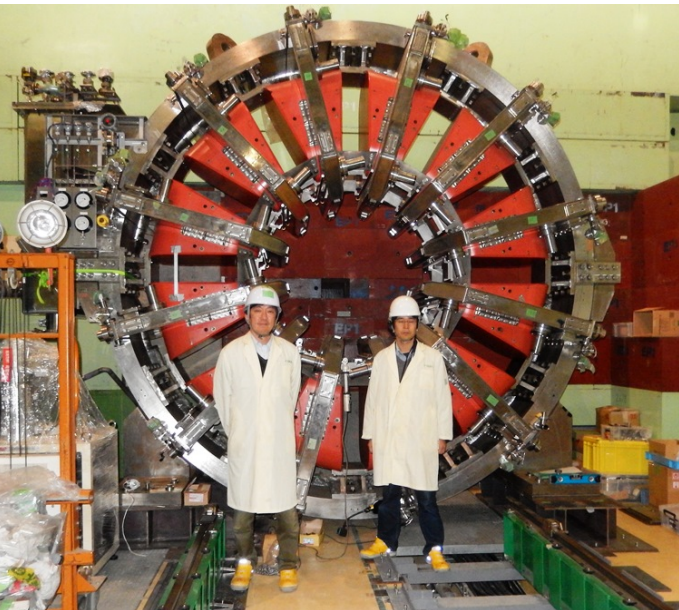
大強度陽子加速器施設(J-PARC)

@茨城県 東海

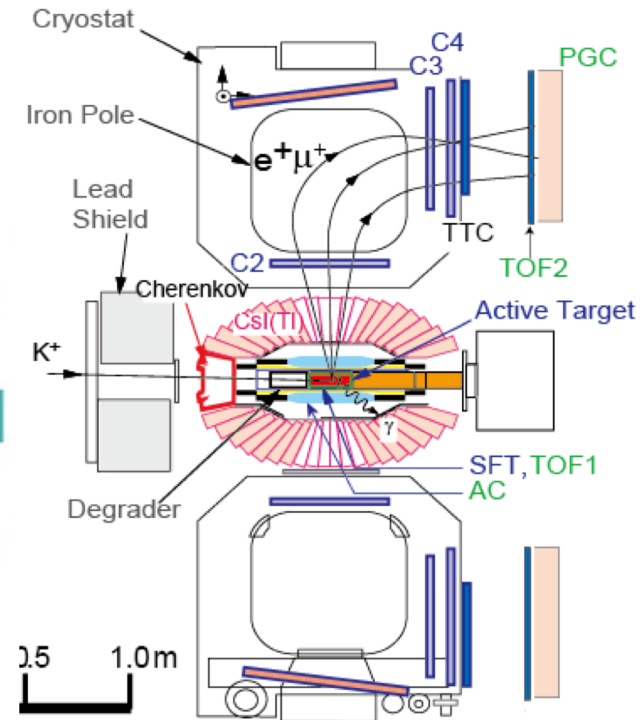


2. J-PARC E36 実験

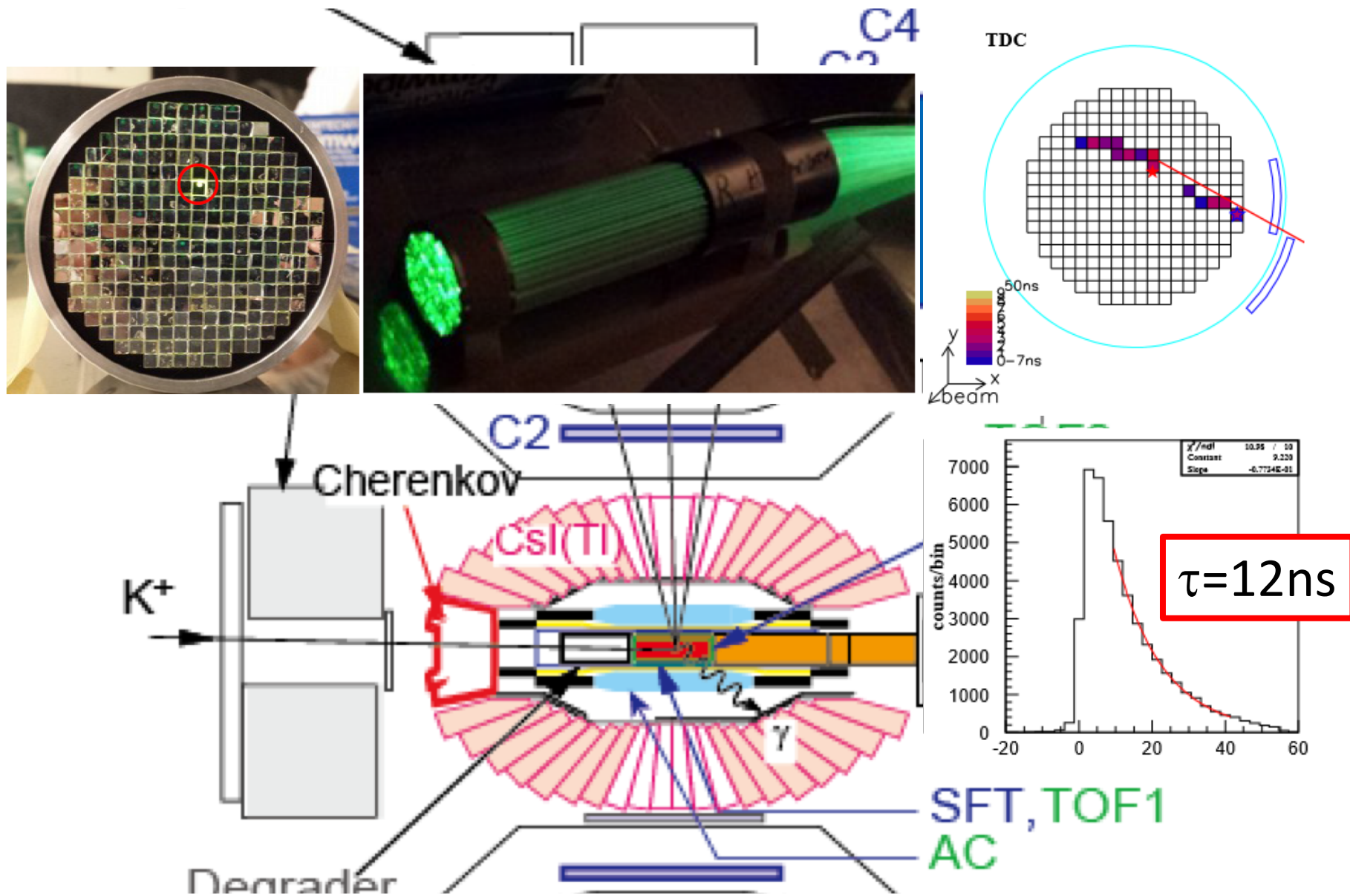
Phys. Run: October, 2015 – December, 2015
J-PARC Hadron Hall K1.1BR



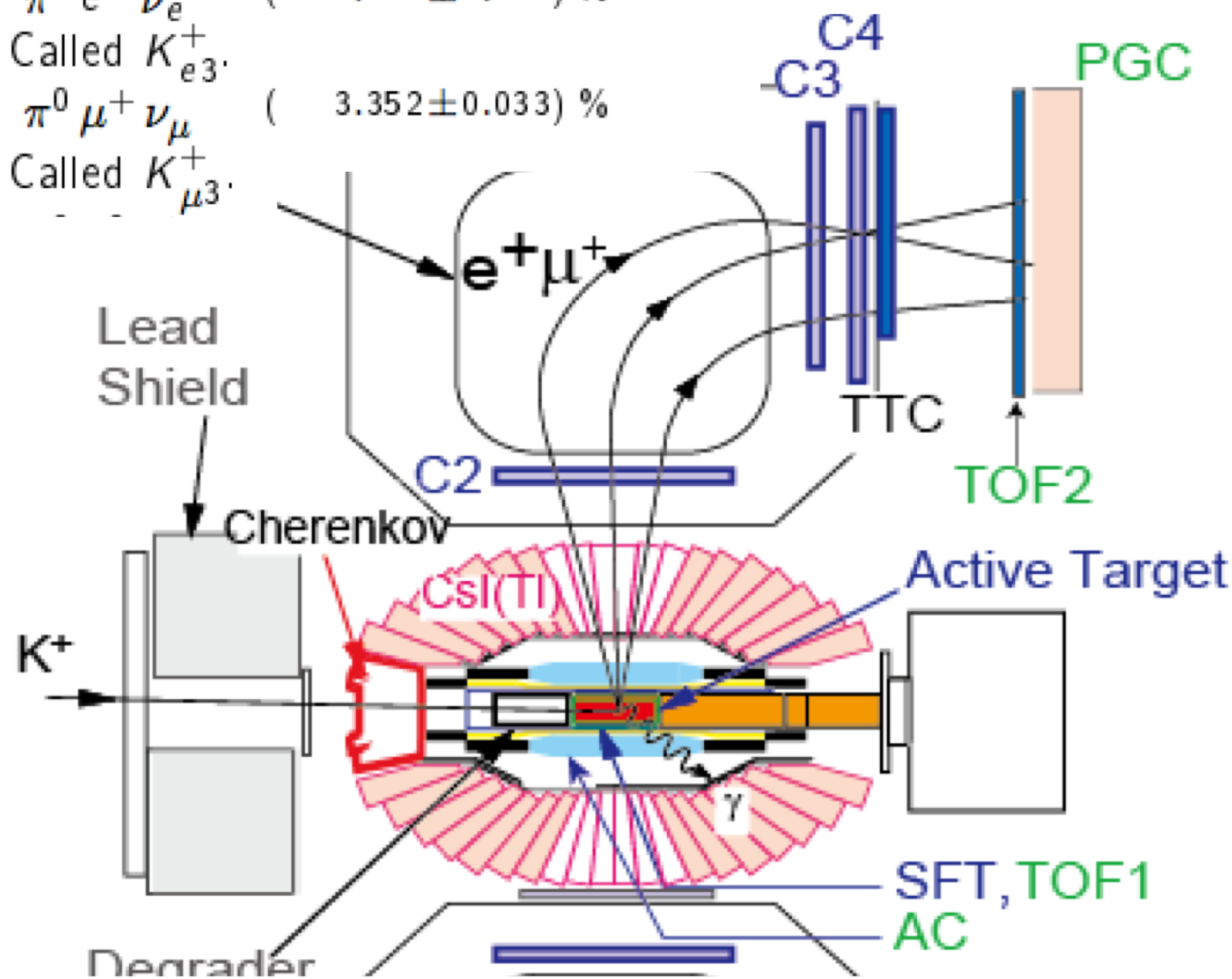
Geant4 simulation
Geometry



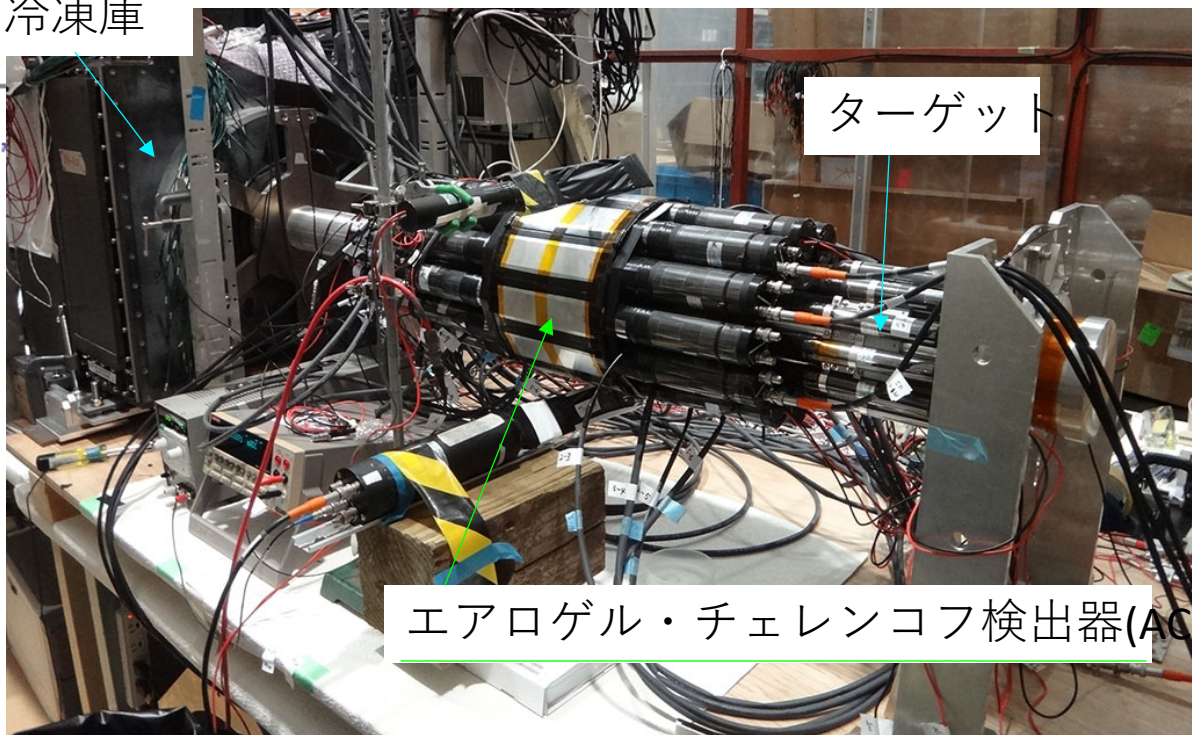
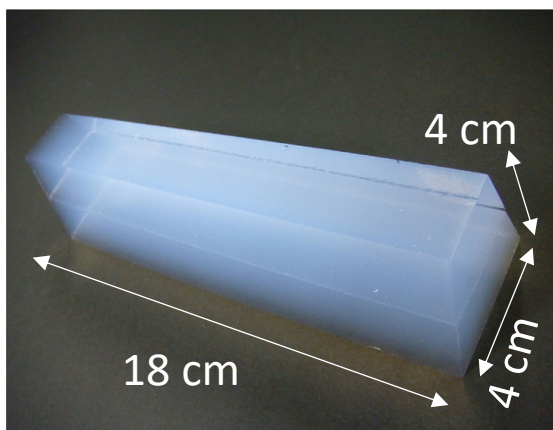
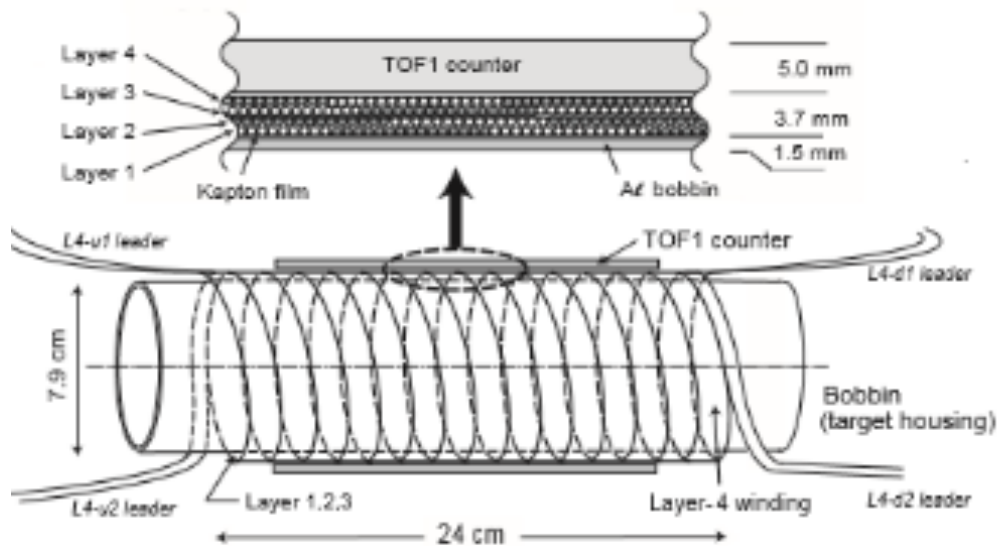
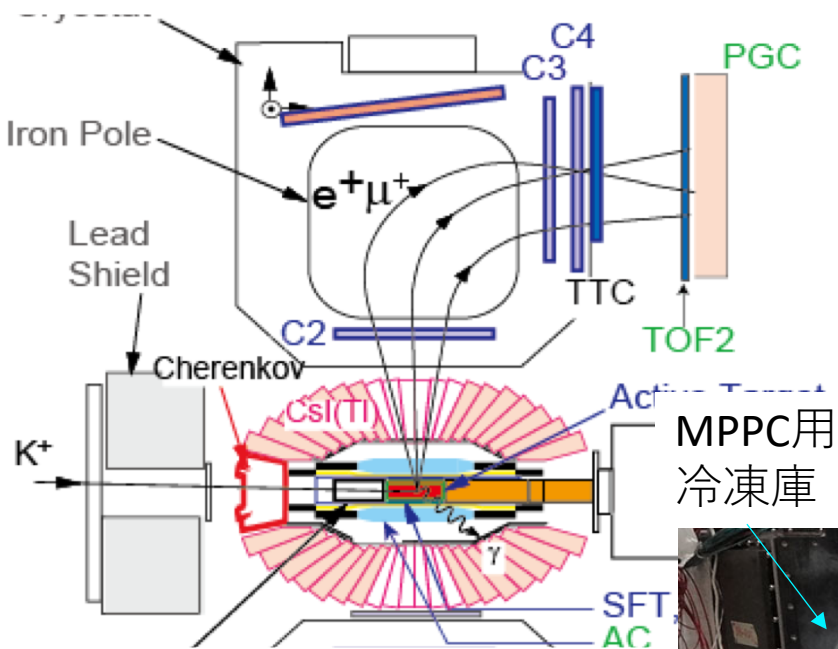
2. J-PARC E36 実験



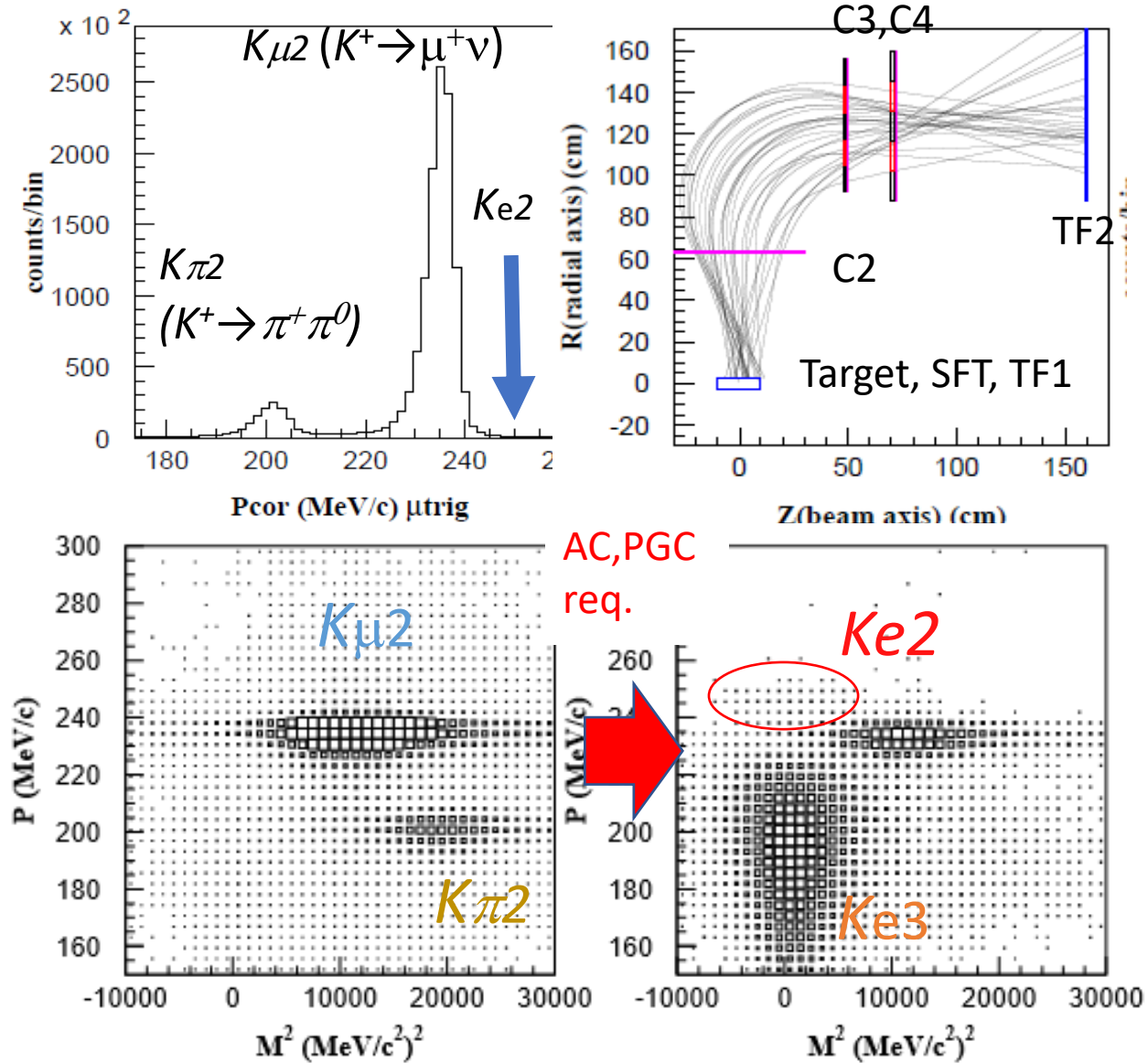
Γ_1	$e^+ \nu_e$	$(1.582 \pm 0.007) \times 10^{-5}$
Γ_2	$\mu^+ \nu_\mu$	$(63.56 \pm 0.11) \%$
Γ_3	$\pi^0 e^+ \nu_e$	$(5.07 \pm 0.04) \%$
	Called K_{e3}^+ .	
Γ_4	$\pi^0 \mu^+ \nu_\mu$	$(3.352 \pm 0.033) \%$
	Called $K_{\mu 3}^+$.	



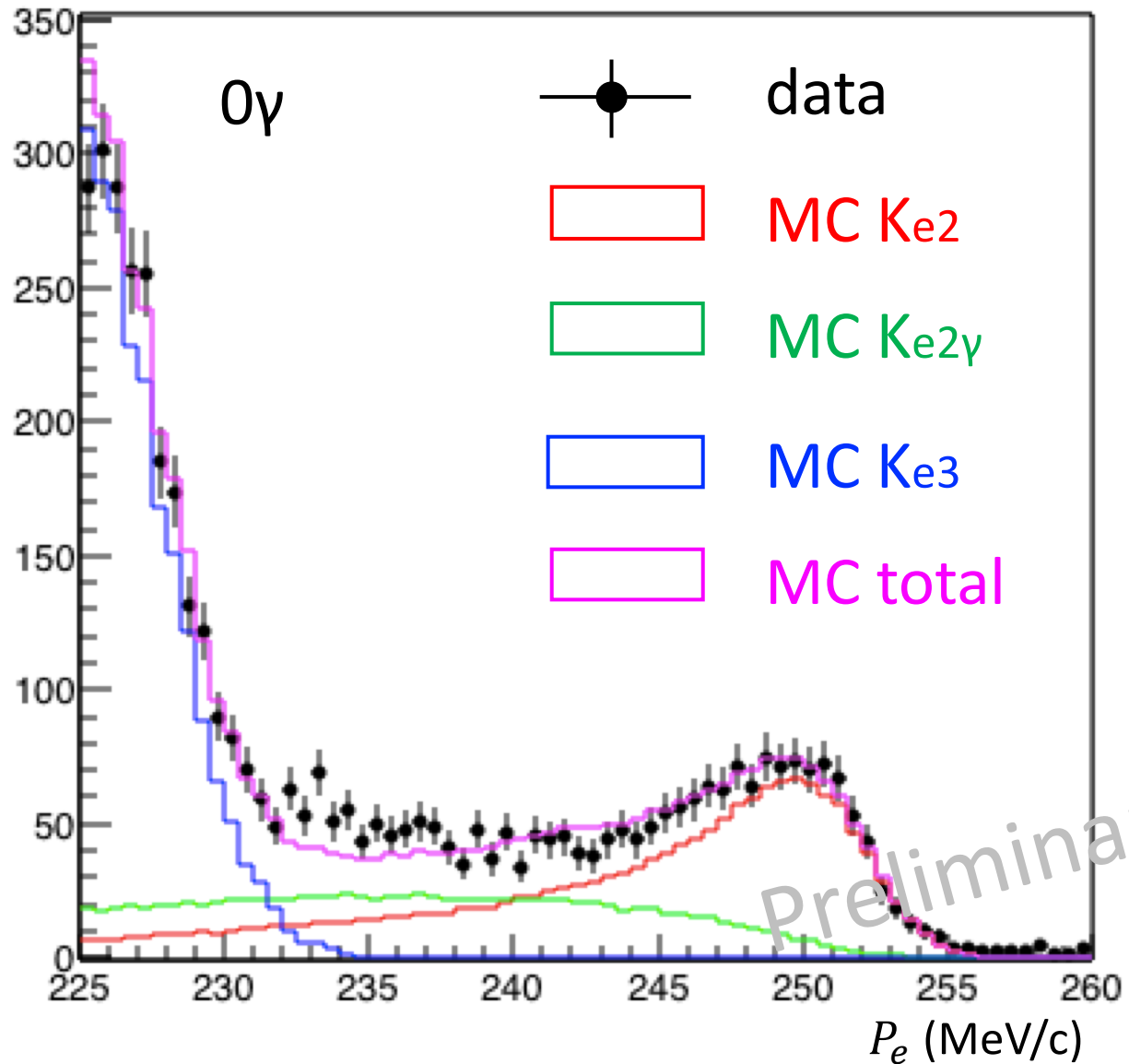
2. J-PARC E36 実験



2. J-PARC E36 実験



2. J-PARC E36 実験



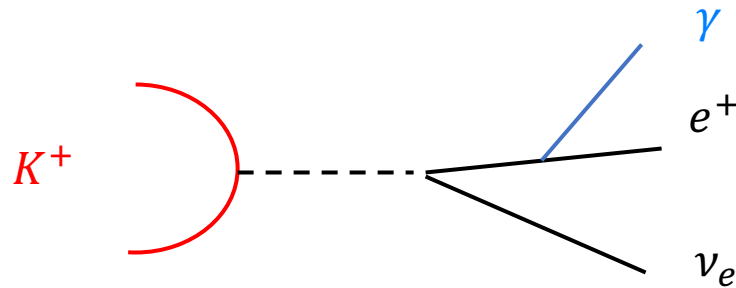
3. Study of Ke2 γ

$$R_K = \frac{\Gamma(K_{e2}) + \Gamma(K_{e2\gamma}(IB))}{\Gamma(K_{\mu2}) + \Gamma(K_{\mu2\gamma}(IB))}$$

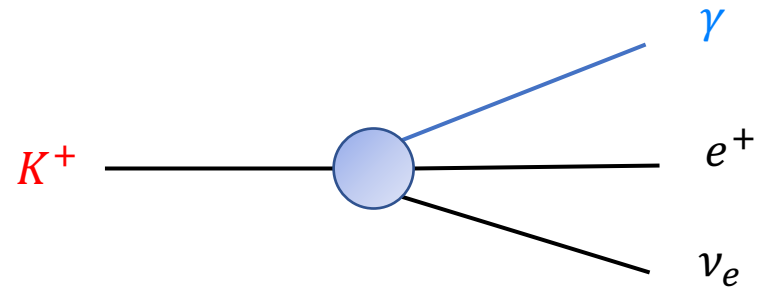
$$\Gamma(\text{Ke2}) \sim 1.58 \times 10^{-5}$$

$$\Gamma(\text{Ke2}\gamma(\text{SD})) \sim 9.4 \times 10^{-6}$$

PDG'18/Eur. Phys. J. C 64 (2009) 627.

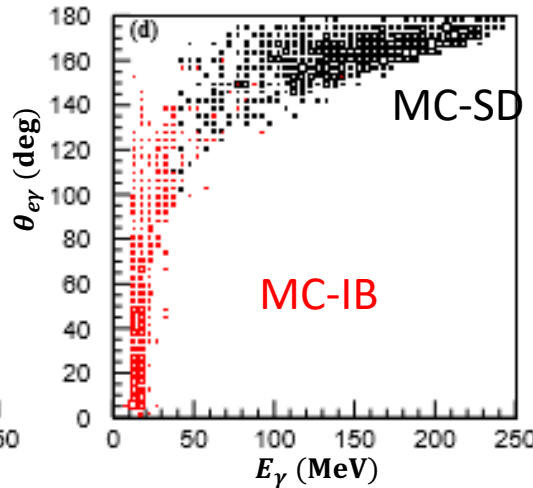
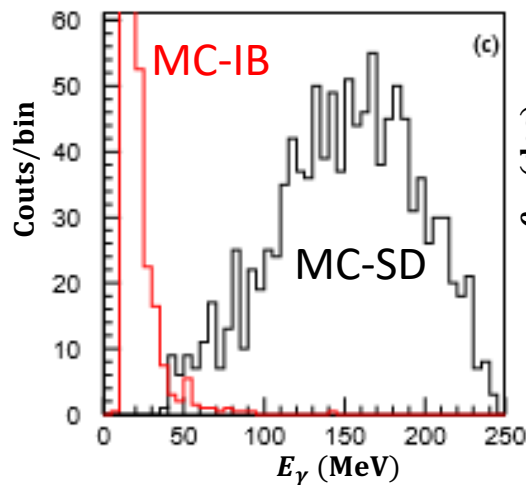


Internal Bremsstrahlung (IB)

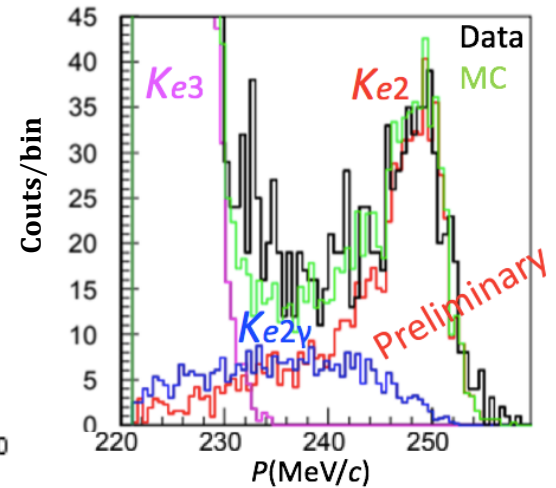


Structure Dependent (SD)

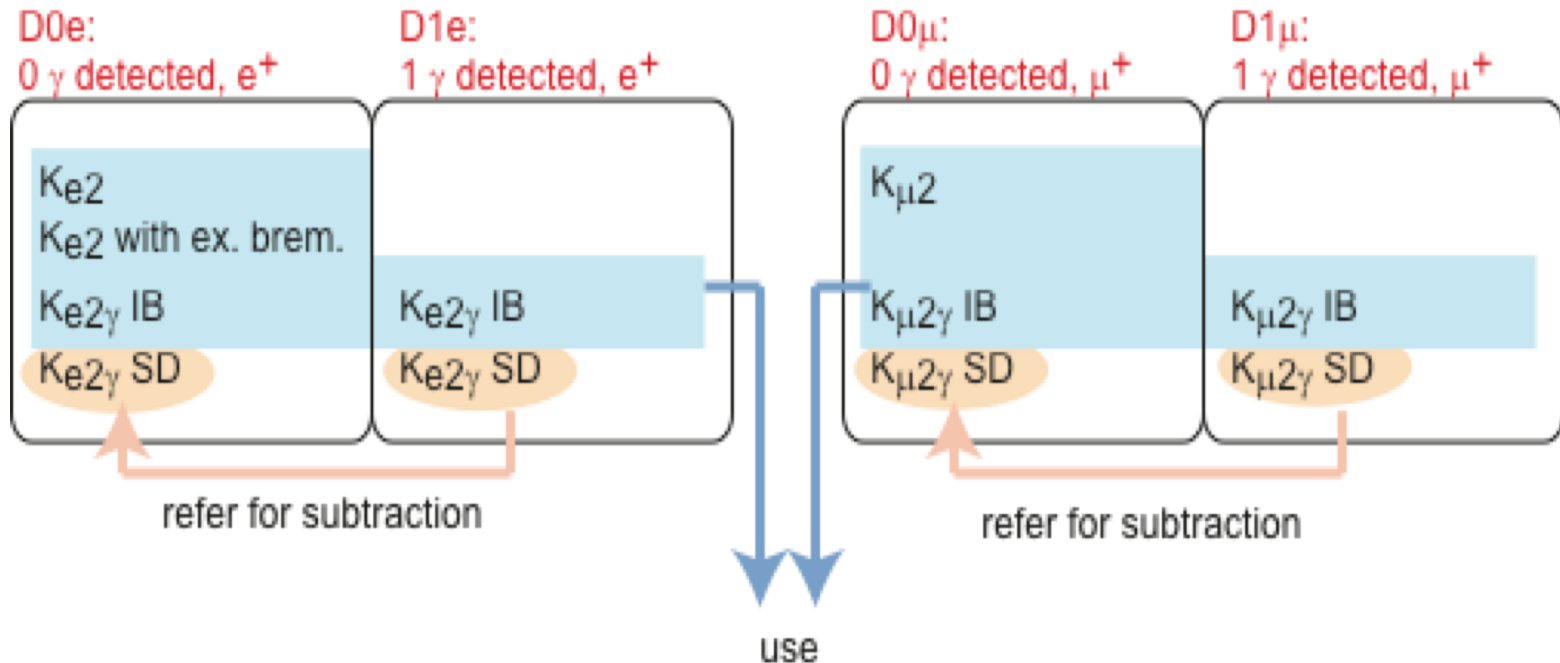
Monte Carlo (MC) simulation



e^+ momentum spectrum



3. Study of $Ke_2\gamma$



- $K_{e_2\gamma} = IB + SD$: SD is a background which have to be subtracted
- The SD branching ratio and form factor can be determined for the estimation of background fraction

$$\Gamma_1(k_{e_2\gamma}) = \frac{N(K_{e_2\gamma}^{(0\gamma)}) \Omega(K_{e_2}^{(0\gamma)})}{N(K_{e_2}^{(0\gamma)}) \Omega(K_{e_2\gamma}^{(0\gamma)})} \Gamma(k_{e_2})$$

$$\Gamma_2(k_{e_2\gamma}) = \frac{N(K_{e_2\gamma}^{(1\gamma)}) \Omega(K_{e_2}^{(0\gamma)})}{N(K_{e_2}^{(0\gamma)}) \Omega(K_{e_2\gamma}^{(1\gamma)})} \Gamma(k_{e_2})$$

- We will publish the results after careful estimation of systematic uncertainties

3. Study of Ke2γ

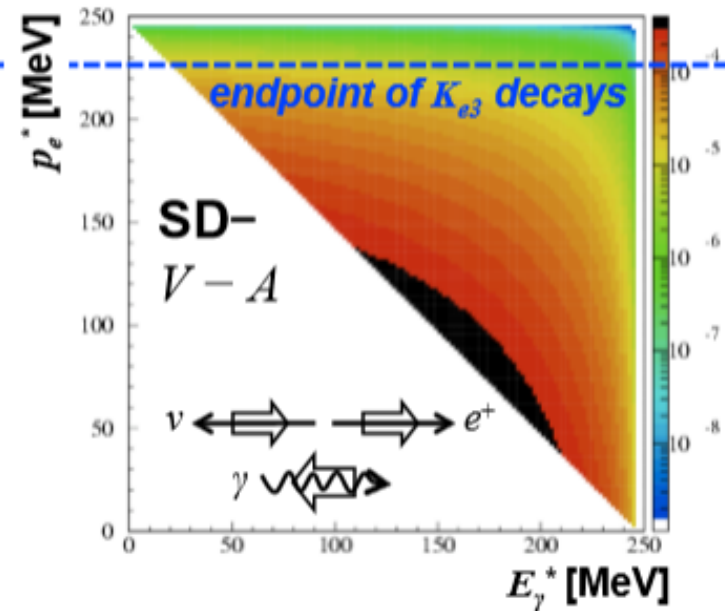
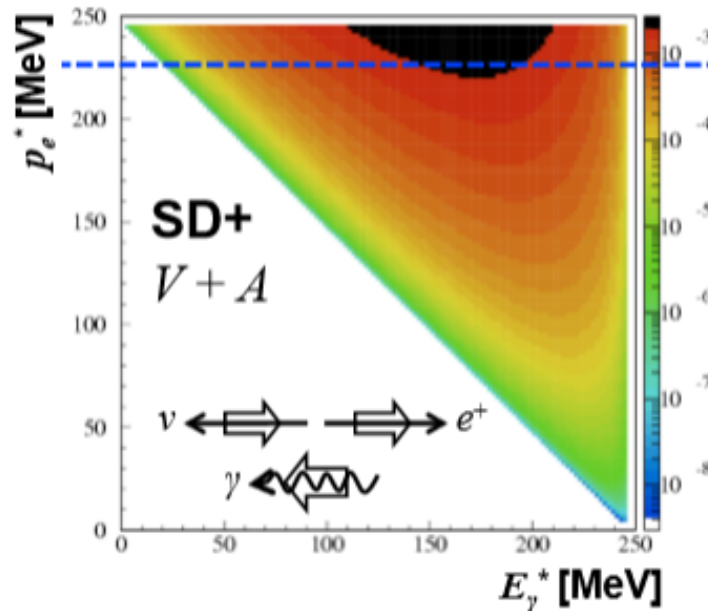
$K_{e2\gamma}$ amplitudes



$$\frac{d\Gamma(K \rightarrow e\nu\gamma)}{dx dy} = \rho_{\text{IB}}(x, y) + \rho_{\text{SD}}(x, y) + \rho_{\text{INT}}(x, y) \quad \begin{matrix} \text{negligible} \\ x = 2E_\gamma^*/m_K \\ y = 2E_e^*/m_K \end{matrix}$$

$$\rho_{\text{SD}}(x, y) = \frac{G_F^2 |V_{us}|^2 \alpha}{64\pi^2} m_K^5 \left((V+A)^2 f_{\text{SD}+}(x, y) + (V-A)^2 f_{\text{SD}-}(x, y) \right)$$

V, A : effective vector and axial couplings



3. Study of $K_{e2\gamma}$

$K_{e2\gamma}$: Theoretical predictions for SD



1. ChPT(Chiral Perturbation Theory) at $O(p^4)$ $p^2 = m_K^2(1 - x)$.

No dependence on γ energy

$$V \approx 0.0945$$

$$A \approx 0.0425$$

Bijnens, Ecker, Gasser '93

2. ChPT at $O(p^6)$

Linear energy dependence for V

$$V \approx 0.082[1 + \lambda(1 - x)] \text{ with } \lambda \approx 0.4$$

$$A \approx 0.034$$

Ametller, Bijnens, Bramon, Cornet '93

Geng, Ho, Wu '04

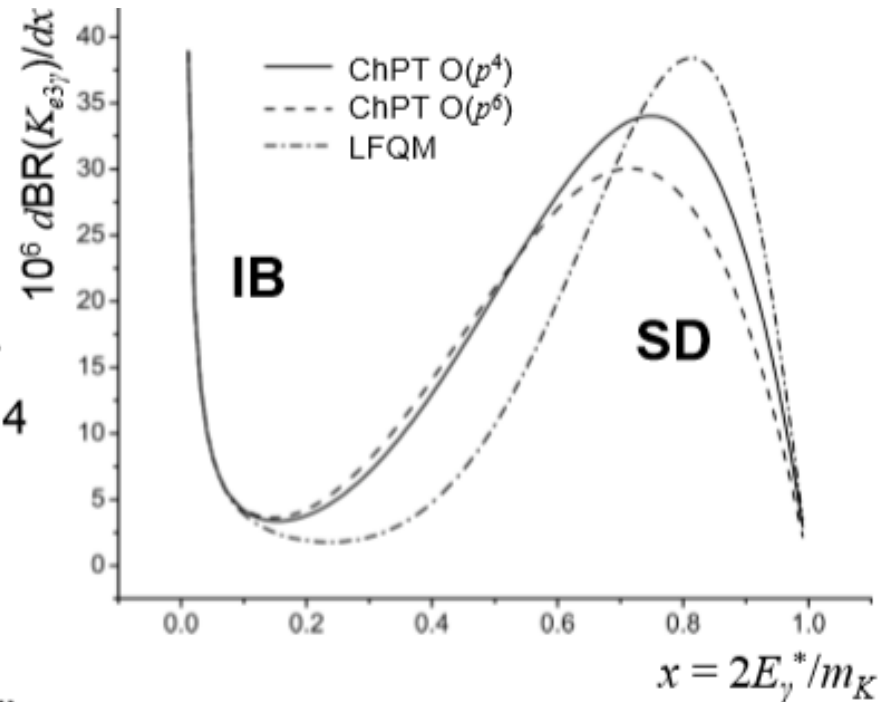
Chen, Geng, Lih '08

3. Light Front Quark Model (LFQM)

Non-trivial x dependence

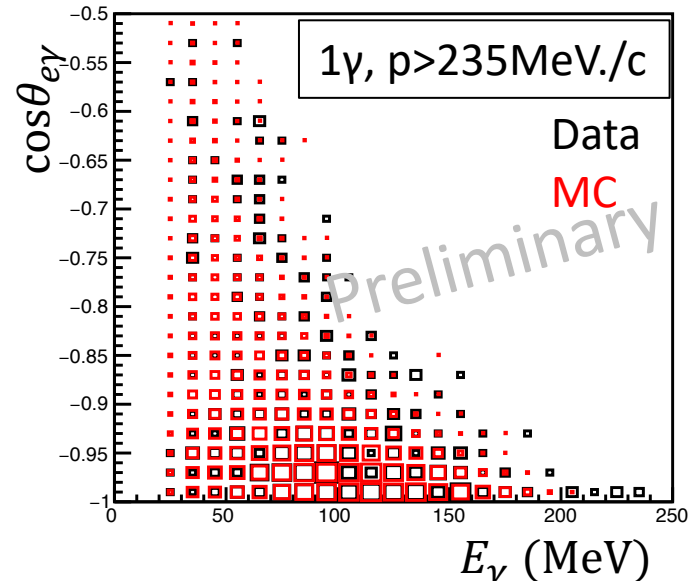
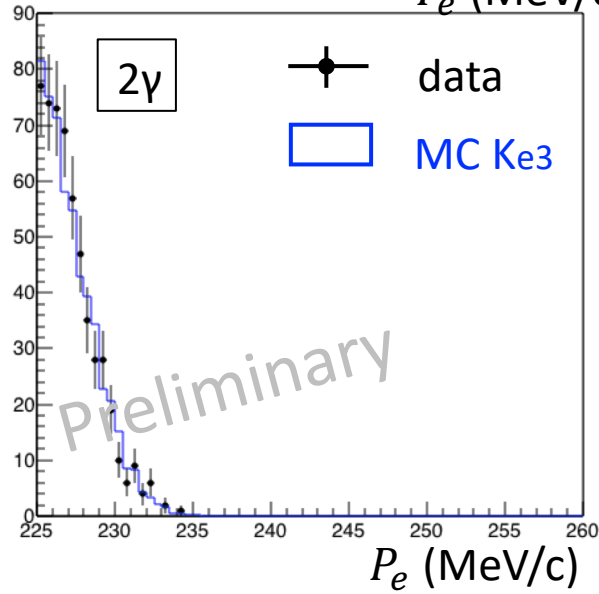
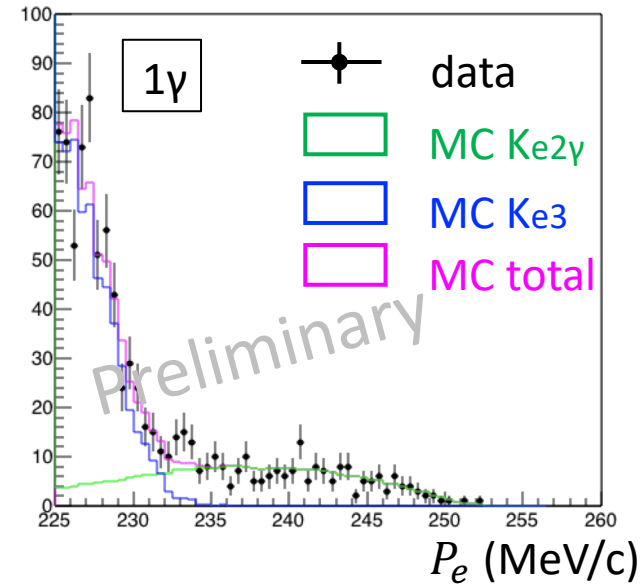
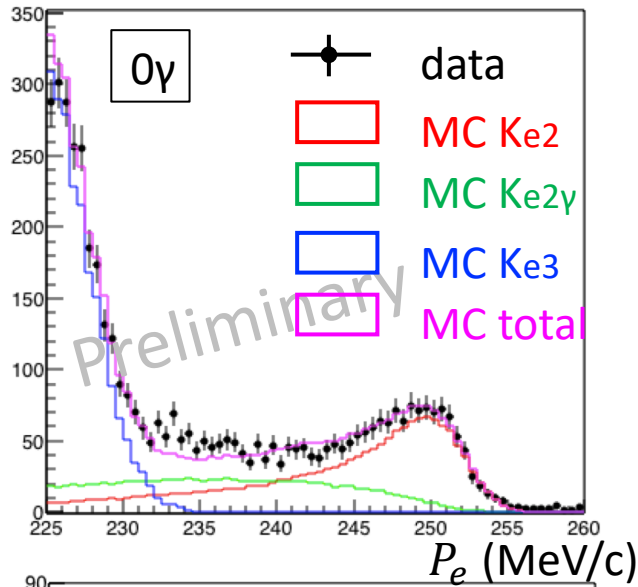
$$V = A = 0 \text{ at } x = 0 \text{ or } t = t_{\max} = m_K^2$$

Chen, Geng, Lih '08

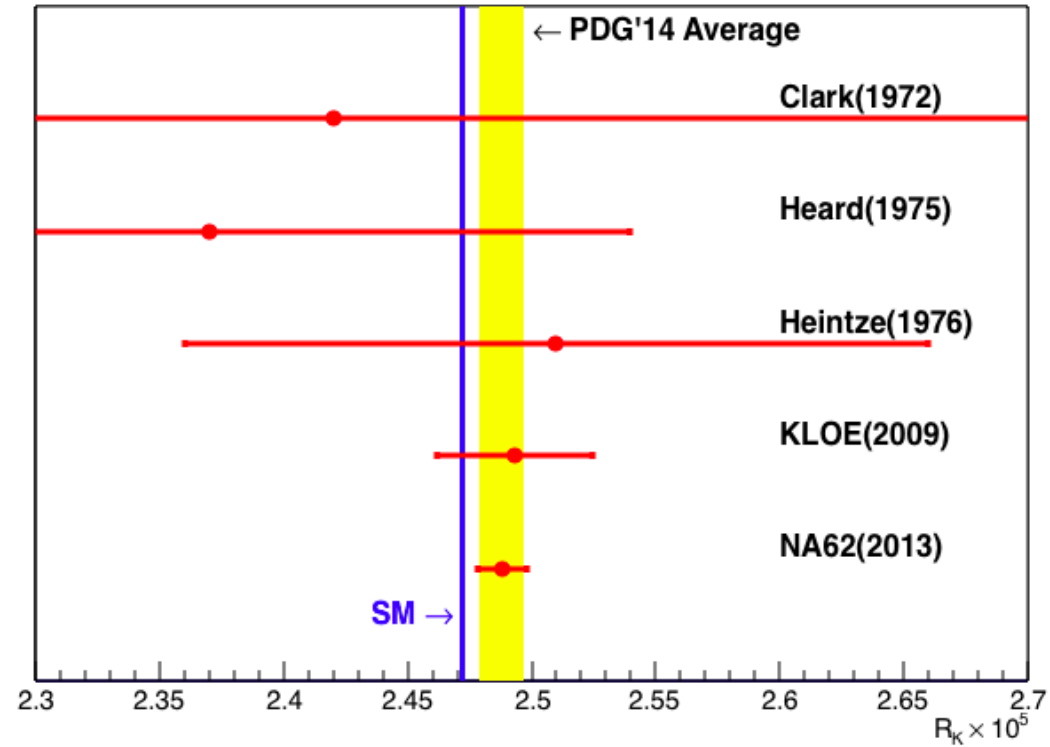
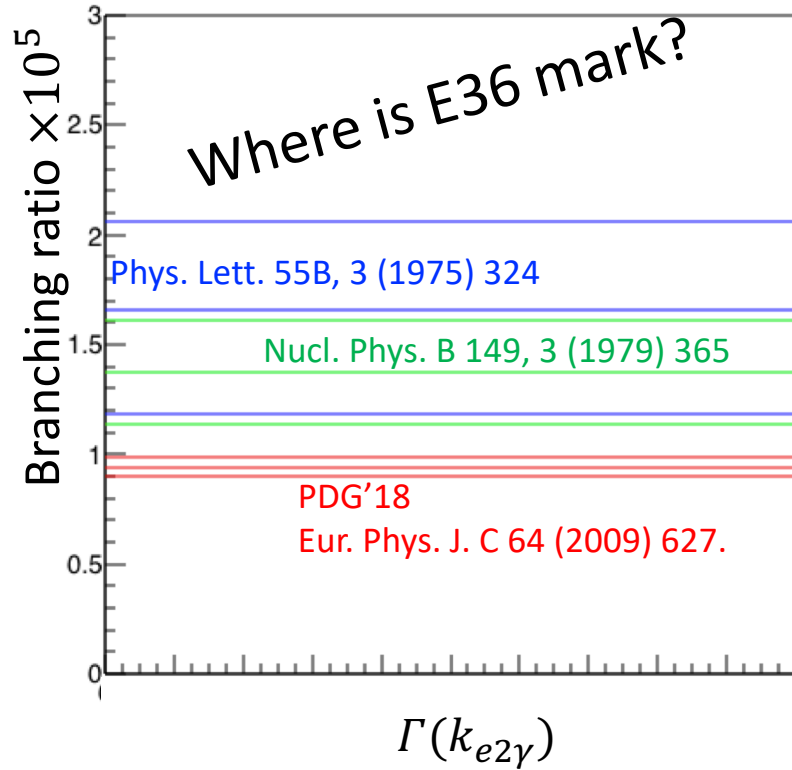


$$\rho_{SD}(x, y) = \frac{G_F^2 |V_{us}|^2 \alpha}{64\pi^2} m_K^5 \left((V + A)^2 f_{SD+}(x, y) \right)$$

3. Study of Ke2 γ



3. Study of $Ke2\gamma$



- NA62のRKはKLOE $Ke2\gamma$ を参照している。
- $\Gamma(Ke2\gamma)$ はRKを決定する上で重要なパラメータ。

4. Summary

- レプトン普遍性破れ探索はあつい。
- J-PARC E36実験はRK精密測定して探索する。
- 解析は順調に進んでいる。
- RK決定において $Ke2\gamma$ 解析が慎重に取り扱う必要がある。
- $Ke2\gamma$ 自身も面白い、輻射崩壊の理解へ